

7. Zriouil M., Elouadi B., Raves J., Hagenmuller P. Effect of zirconium substitution on the crystallographic and dielectric properties of LiTaO₃ // J. Solid State Chem. — 1984. — V. 51, N 1. — P. 53.
 8. Зилинг К. К., Надолинный В. А., Шашкин В. В. Диффузия титана в LiNbO₃ и ее влияние на оптические свойства // Неорган. материалы. — 1980. — Т. 16, № 4.
 9. Акустические кристаллы/Под ред. М. П. Шаскольской.— М.: Наука, 1982.
 10. DiDomenico M., Wemple S. H. Oxygen-octahedra ferroelectrics // J. Appl. Phys. — 1969. — V. 40, N 2. — P. 720.
 11. Barns R. L., Carruthers J. R. Lithium tantalate single crystal stoichiometry // J. Appl. Cryst. — 1970. — V. 3. — P. 395.
 12. Кэй Д., Лэби Т. Таблица физических и химических постоянных.— М.: Физматгиз, 1962.
 13. Бацаинов С. С. Структурная рефрактометрия.— М.: Высш. шк., 1976.
- (TiO₂)₂ // Mat. Res. Bull. — 1981. — V. 16, N 9. — P. 1099.

Поступила в редакцию 17 февраля 1988 г.

УДК 681.327.68

О. Н. МОТРУК

(Киев)

РАСЧЕТ ДОПУСТИМЫХ ОТКЛОНЕНИЙ ПАРАМЕТРОВ ПОДЛОЖКИ НОСИТЕЛЯ ИНФОРМАЦИИ ОПТИЧЕСКОГО ЗАПОМИНАЮЩЕГО УСТРОЙСТВА С ПОБИТОВЫМ ПРЕДСТАВЛЕНИЕМ ДАННЫХ

Для оптических запоминающих устройств (ОЗУ) с побитовым представлением данных, в которых подложка носителя информации (НИ) дополнительно используется в целях защиты информации от механических повреждений и пыли, требования к разнотолщинности и изменению показателя преломления подложки НИ определены в работе [1].

При изготовлении подложек НИ требуется знание допустимых отклонений еще ряда параметров, влияющих на процессы записи и воспроизведения информации. К таким параметрам следует отнести клиновидность и наклоны НИ, плоскость, двойное лучепреломление, нузырьность, размер непрозрачных включений.

Расчет допусков на эти параметры проведем для монохроматического излучения при условии, что остаточная аберрация фокусирующего объектива в осевой точке равна нулю и его входной зрачок заполняется гауссовым пучком.

Определение допусков на клиновидность и наклоны подложки НИ. Допуск определяется двумя явлениями, отрицательно влияющими на работу ОЗУ: 1) ухудшение фокусировки лазерного излучения за счет возникновения аберрации комы; 2) смещение оси отраженного пучка, что в некоторых системах сложения за фокусом и дорожкой может привести к возникновению ложного сигнала рассогласования.

Ход лучей сходящегося пучка через подложку НИ при отсутствии клиновидности (сплошные линии) и при ее наличии (штриховые линии) представлен на рис. 1. Поперечная аберрация наклонного луча, лежащего в меридиональной плоскости, равна

$$\delta g = \left(d - \frac{\kappa}{\operatorname{tg} \alpha} \right) \operatorname{tg} (\nu + \Theta) + \kappa - d \operatorname{tg} \alpha' - d \operatorname{tg} (\Theta - \Theta'),$$

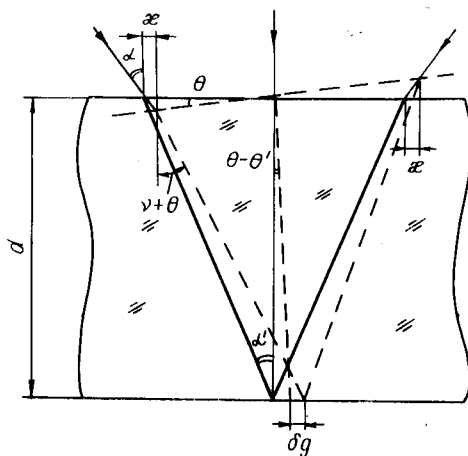


Рис. 1

где d — толщина подложки НИ; α, α' — углы падения и преломления луча; v — угол преломления наклонного луча при наклоне верхней поверхности подложки; Θ — угол наклона верхней поверхности подложки; Θ' — угол преломления осевого луча; κ — радиальное смещение точки пересечения луча с верхней поверхностью подложки относительно оси пучка.

Такая же по величине аберрация возникает при наклоне НИ в отсутствие клиновидности. Так как угол Θ мал, то после несложных преобразований можно получить соотношение $\delta g \simeq \kappa \simeq \Theta d \operatorname{tg} \alpha \operatorname{tg} \alpha'$.

Для произвольной плоскости меридиональная и сагиттальная составляющие поперечной аберрации соответственно равны

$$\delta g = \Theta d \operatorname{tg} \alpha \operatorname{tg} \alpha' \cos^2 \varphi; \quad \delta G = \Theta d \operatorname{tg} \alpha \operatorname{tg} \alpha' \cos \varphi \sin \varphi,$$

где φ — азимутальный угол плоскости падения.

Волновая аберрация находится при помощи известного соотношения [2]

$$N = -n \int_0^{\sin \alpha'} (\delta G \sin \varphi + \delta g \cos \varphi) d(\sin \alpha').$$

$$\text{Отсюда } N = -nd\Theta \cos \varphi \int_0^{\sin \alpha'} \operatorname{tg} \alpha \operatorname{tg} \alpha' d(\sin \alpha').$$

Ограничимся квадратичными членами в разложении подынтегральной функции. Тогда $N = -\frac{n^2}{3} \Theta \alpha'^3 d \cos \varphi$.

Волновая аберрация такого вида определяет к нему, допустимое значение которой, полученное из критерия Марешала, не должно превышать $0,6\lambda$ [3]. Из условия $N = 0,6\lambda$ находим допуск на клиновидность подложки и наклоны НИ:

$$\Theta = 1,8\lambda n/d\alpha_0^3, \quad (1)$$

где λ — длина волны излучения; $\alpha_0 = \arcsin A$; A — числовая апертура фокусирующего объектива; n — показатель преломления.

Максимум интенсивности в дифракционном пятне расположена на расстоянии $l = 2/9\delta g$ относительно параксиального изображения [3].

На рис. 2 приведены кривые зависимости Θ от апертуры фокусирующего объектива для $\lambda = 0,8$ мкм, $n = 1,51$, рассчитанные по формуле (1), для толщины подложки НИ 3 мм. Штриховой линией изображен график той же зависимости, построенный на основании расчета хода лу-

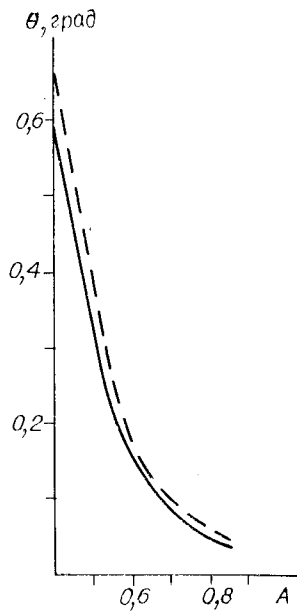


Рис. 2

чей через клиновидную подложку с последующим вычислением дифракционного интеграла, для коэффициента заполнения зрачка фокусирующего объектива гауссовым пучком $\mu = 1$, при котором достигается максимальная концентрация энергии в сфокусированном пятне [4]. В области апертур 0,4—0,9 погрешность формулы (1) не превышает 15 %.

Для вычисления смещения оси отраженного пучка при малых величинах клиновидности подложки НИ нетрудно получить выражение

$$\Delta = 2f\Theta n, \quad (2)$$

где f — фокусное расстояние объектива, которое связано с толщиной подложки следующим образом:

$$f = S + d/n,$$

здесь S — расстояние от задней главной точки объектива до верхней поверхности подложки.

Смещение оси отраженного информационным слоем пучка при малых наклонах НИ в отсутствие клиновидности может быть определено из выражения

$$\Delta = 2\Theta f. \quad (3)$$

При расчете допусков на клиновидность и наклоны НИ следует учитывать конкретный тип систем слежения, а допуск устанавливать по минимальному значению Θ , получаемому на основании формул (1), (2) или (3).

Определение допуска на плоскость подложки НИ. Влияние плоскости на фокусировку лазерного излучения может быть сведено к рассмотрению дефокусировки, разнотолщины и клиновидности. Другой аспект определения допуска на плоскость подложки НИ состоит в рассмотрении работы системы автоматической регулировки фокуса. Именно с ее свойствами и связан допуск на плоскость подложки НИ.

Для дискового НИ, вращающегося с частотой η , оптический профиль подложки вдоль окружности с радиусом R будет являться периодической функцией с периодом $2\pi R$, которую можно представить в виде

$$\Psi(x) = \Psi_1(x) + (\Psi_2(x) - \Psi_1(x))/n,$$

где $\Psi_1(x)$, $\Psi_2(x)$ — функции геометрического профиля верхней и нижней поверхности подложки соответственно.

Разложение $\Psi(x)$ в ряд Фурье имеет вид

$$\Psi(x) = \frac{C_0}{2} + \sum_{m=1}^{\infty} C_m \cos\left(\frac{mx}{R} - \varphi_m\right),$$

здесь $C_m = \sqrt{A_m^2 + B_m^2}$ — спектр амплитуд; φ_m — спектр фаз функции $\Psi(x)$;

$$A_m = \frac{1}{\pi R} \int_{-\pi R}^{\pi R} \Psi(x) \cos \frac{mx}{R} dx; \quad B_m = \frac{1}{\pi R} \int_{-\pi R}^{\pi R} \Psi(x) \sin \frac{mx}{R} dx.$$

Уравнение движения привода системы автоматической фокусировки для гармоники m

$$L = \Delta y(1 + \cos(vtm/R)),$$

где Δy — амплитуда колебаний привода; v — линейная скорость НИ. Если привод развивает максимальное ускорение a_{\max} , то $\Delta y = a_{\max}/4\pi^2\eta^2 m^2$. Допуск на плоскость НИ будет определяться из условия $C_m \leq \Delta y$ для всех R и m .

Таким образом, необходимая плоскость подложки НИ обусловлена максимальным ускорением, которое способен развить привод системы автоматической фокусировки, и частотой вращения НИ.

Определение допуска на двойное лучепреломление. Двойное лучепреломление возникает при наличии механических напряжений в под-

показатель преломления которого совпадает с главной плоскостью. В рассматриваемом случае плоскость падения любого луча совпадает с главной плоскостью, т. е. волновая нормаль и вектор Пойнтинга лежат в плоскости падения. Необыкновенный луч будет aberrационен, и его поперечная aberrация определяется выражением

$$\delta g = d(\tan \alpha' - \tan \gamma),$$

где α' — угол преломления обычного луча; γ — угол между вектором Пойнтинга необыкновенного луча и кристаллической осью.

Показатель преломления необыкновенного луча n_e' определяется соотношением [6]

$$n_e'^2 = \left(\frac{\cos^2 \alpha'}{n_o^2} + \frac{\sin^2 \alpha'}{n_e^2} \right)^{-1},$$

где n_o , n_e — обычный и необыкновенный показатели преломления.

$$\text{Тогда } n_e'^2 = n_e^2 + \sin^2 \alpha' \left(1 - \frac{n_e^2}{n_o^2} \right).$$

Если i — угол между волновой нормалью необыкновенного луча и оптической осью, то нетрудно найти связь между γ и i : $\tan \gamma = (n_o/n_e)^2 \tan i$.

Известно [6], что $\sin i = \sin \alpha / n_e'$. Тогда $\delta g = d \tan \alpha' (1 - (n_o^3/n_e^3))$. Волновая aberrация этого луча: $N = dn_o (1 - (n_o^3/n_e^3)) (1 - \cos \alpha')$. Учитывая малость величины $\Delta n = n_o - n_e$, можно записать $N = 3d\Delta n (1 - \cos \alpha')$.

Нормированная интенсивность в центре дифракционного пятна $i(0)$ при наличии компенсирующей дефокусировки ε для систем, удовлетворяющих условию Гершеля [3], у которых распределение амплитуды по фронту волны преобразованного гауссова пучка определено в [1], задается соотношением

$$i(0) = \frac{\beta^2}{4(1 - e^{-\mu^2})^2 e^{2\beta}} \left| \int_0^{\alpha_0} e^{\beta \cos \alpha} (e^{ikN_1} + e^{ikN_2}) \sin \alpha d\alpha \right|^2, \quad (4)$$

где $\beta = \mu^2/(1 - \cos \alpha_0)$; $\mu = h_0/\sigma_0$ — коэффициент заполнения зрачка объектива; σ_0 — радиус гауссова пучка по уровню 1/e падения амплитуды; $2h_0$ — световой диаметр первой поверхности объектива; $A = \sin \alpha_0$ — числовая апертура объектива; $k = 2\pi/\lambda$; N_1 , N_2 — волновые aberrации необыкновенного и обычного лучей:

$$N_1 = 3d\Delta n (1 - \cos \alpha') + \varepsilon (1 - \cos \alpha); N_2 = -\varepsilon (1 - \cos \alpha).$$

В этом случае определение допуска на двойное лучепреломление сводится к решению уравнения [1]

$$C^2 + S^2 = 0,8 (1 - e^{-\mu^2}) \beta^{-2} e^{2\beta}, \quad (5)$$

$$\text{где } C, S = \int_0^{\alpha_0} \exp(\beta \cos \alpha) \cos \left[\frac{\pi}{\lambda} (N_1 - N_2) \right] \cos \left[\frac{\pi}{\lambda} (N_1 + N_2) \right] \sin \alpha d\alpha.$$

Нахождение зависимости Δn от A , которые входят в уравнение (5) в неявном виде, проводилось по методике, предложенной в [1].

Если при $\mu = 0$ воспользоваться известным приближением среднеквадратичной деформации волнового фронта [3, 6] и ограничиться в (4)

при разложении подынтегральной функции членами не выше 2-й степени по α , то после преобразований

$$\Delta n = 0,342 \lambda n_0^2 / dA^2. \quad (6)$$

На рис. 3 приведены графики зависимости Δn от апертуры фокусирующего объектива для подложки толщиной 3 мм и $n = 1,51$ при длине волны $\lambda = 0,8$ мкм, рассчитанные по формулам (5) ($\mu = 1$) (сплошная линия) и (6) (штриховая линия). Приближение (6) дает точность не хуже 10 %, что является достаточным для инженерных расчетов.

Определение допусков на пузырьность и размер непрозрачных включений. Любое прозрачное включение, лежащее в толще подложки НИ, вызывает фазовый сдвиг в волновом фронте, что приводит к уменьшению интенсивности в центре дифракционного пятна. Если включение является пузырем с радиусом r и его центр находится на оси сходящегося гауссова пучка, то уменьшение интенсивности в центре дифракционного пятна можно оценить, представив волновую aberrацию в следующем виде:

$$N = \begin{cases} 0 & \text{при } \alpha' > \tau; \\ N_0 & \text{при } \alpha' \leq \tau, \end{cases}$$

где $N_0 = \text{const}$; $\tau = r/l$ — угловой размер пузыря; l — расстояние от нижней поверхности НИ до центра пузыря.

Пренебрегая отражением на поверхностях включения, можно определить нормированную интенсивность в центре дифракционного пятна для оптических систем, удовлетворяющих условию Гершеля:

$$i(0) = \frac{\exp(-2\beta)}{(1 - e^{-\mu^2})^2} \left| \exp(i k N_0) \int_{\beta \cos \tau}^{\beta} e^y dy + \int_{\beta \cos \alpha'_0}^{\beta \cos \tau} e^y dy \right|^2$$

или $i(0) = B_1^2 + B_2^2 + 2B_1 B_2 \cos k N_0$,

$$\text{где } B_1 = \frac{1 - \exp(-2\beta \sin^2 \tau/2)}{1 - \exp(-\mu^2)}; \quad B_2 = \frac{\exp(-2\beta \sin^2 \tau/2) - \exp(-\mu^2)}{1 - \exp(-\mu^2)},$$

$$\beta = \mu^2 / (1 - \cos \alpha'_0); \quad k = \frac{2\pi n}{\lambda}.$$

В худшем случае $\cos k N_0 = -1$ и $i(0) = (B_1 - B_2)^2$. Из условия $i(0) = 0,8$ находим допустимый размер пузырей:

$$r \simeq \frac{\alpha'_0 l}{\mu n} \left(\ln \frac{20}{19 + e^{-\mu^2}} \right)^{1/2}.$$

Для непрозрачных сферических включений $i(0) = B_2^2$, и их допустимый размер определяется соотношением

$$r \simeq \frac{\alpha'_0 l}{\mu n} \left(\ln \frac{10}{9 + e^{-\mu^2}} \right)^{1/2}.$$

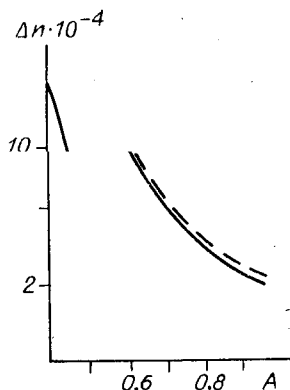


Рис. 3

Таким образом, найденные соотношения дают возможность получить сведения о допусках на подложку НИ, что необходимо при проектировании ОЗУ с побитовым представлением данных.

ЛИТЕРАТУРА

1. Ломакин В. И., Мотрук О. Н. Некоторые требования к подложке носителя информации оптического запоминающего устройства с побитовым представлением данных // Автометрия.— 1985.— № 4.
2. Проектирование оптических систем/Под ред. Р. Шеннопа, Дж. Вайанта.— М.: Мир, 1983.
3. Марешаль А., Франсон М. Структура оптического изображения.— М.: Мир, 1964.
4. Вологдин Э. И., Коченов В. И., Шишкина Е. В. Оптические схемы воспроизведения записи с видеогрампластинки сфокусированным лучом лазера // Техника средств связи. Сер. ТРПА.— 1978.— Вып. 1.
5. Раков Б. М., Краснов Г. И., Сивохин Б. А. Носители записи информации на оптических дисках // Тез. докл. II Всесоюз. конф. по радиооптике.— Тбилиси, 1985.
6. Борн М., Вольф Э. Основы оптики.— М.: Наука, 1973.

Поступила в редакцию 13 февраля 1986 г.
